

# LANCÉ

Servicio Clima Espacial

<http://www.sciesmex.unam.mx>

# Reporte Semanal



# Reporte semanal: del 21 al 27 de diciembre de 2018

## **CONDICIONES DEL SOL**

Regiones activas: 0.

Hoyos coronales: varios hoyos coronales en el disco solar.

Fulguraciones solares: clase A (no significativas).

Eyecciones de masa coronal: 1.

## **CONDICIONES DEL MEDIO INTERPLANETARIO**

Se registró una región de compresión el 27 de diciembre y afectará hasta el 28 de diciembre.

## **CONDICIONES DE MAGNETÓSFERA**

Índice K local: se registró una perturbación geomagnética el 27 de diciembre.

Índice Dst: Se registró una alteración en los índices Dst y  $\Delta H$  el 27 de diciembre debido al impacto de una corriente rápida de viento solar.

## **CONDICIONES DE LA IONOSFERA**

Se observaron perturbaciones de TEC negativas el 25 de diciembre.

# Reporte semanal: del 21 al 27 de diciembre 2018

## PRONÓSTICOS

### Viento solar:

Velocidades en rangos promedio de 350 a 400 km/s. La densidad del plasma se mantendrá sin variaciones significativas. No se pronostica la llegada de alguna EMC para los próximos días.

### Fulguraciones solares:

Baja probabilidad de fulguraciones.

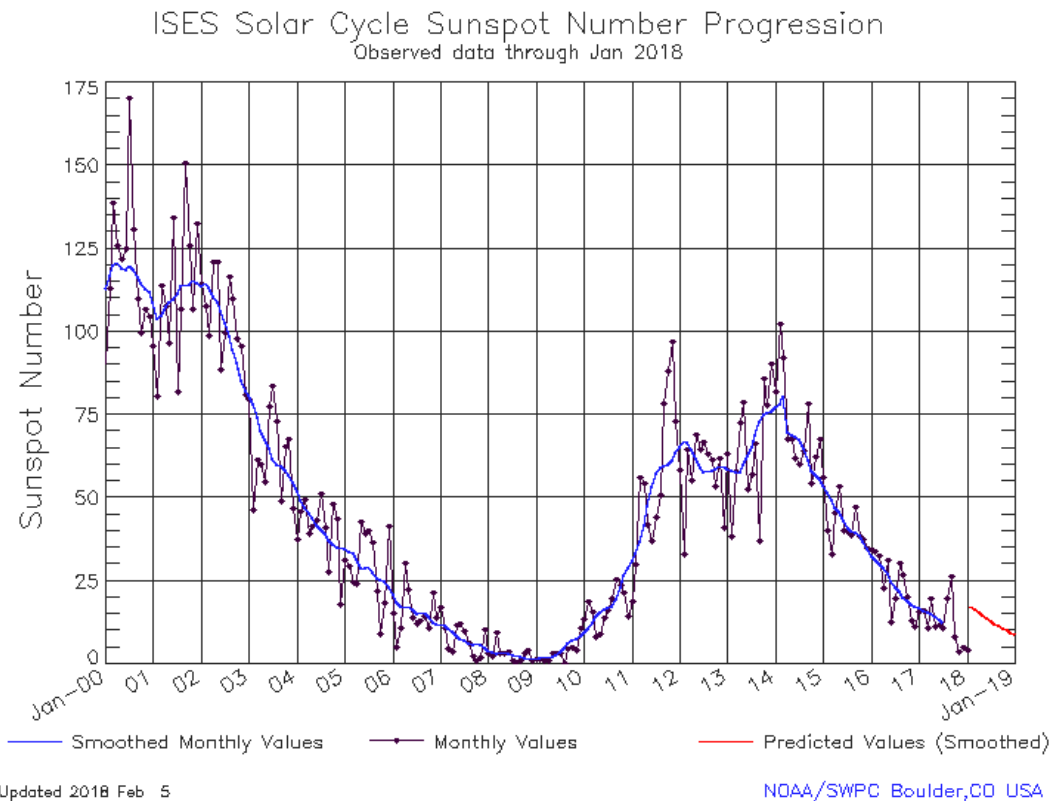
### Tormentas geomagnéticas:

Actualmente se encuentra en curso una región de compresión, cuyo origen es un hoyo coronal ecuatorial de polaridad positiva. Dicha región puede generar una tormenta geomagnética en los próximos días..

### Tormentas de radiación solar:

Baja probabilidad de tormentas.

# Ciclo de manchas solares y la actividad solar

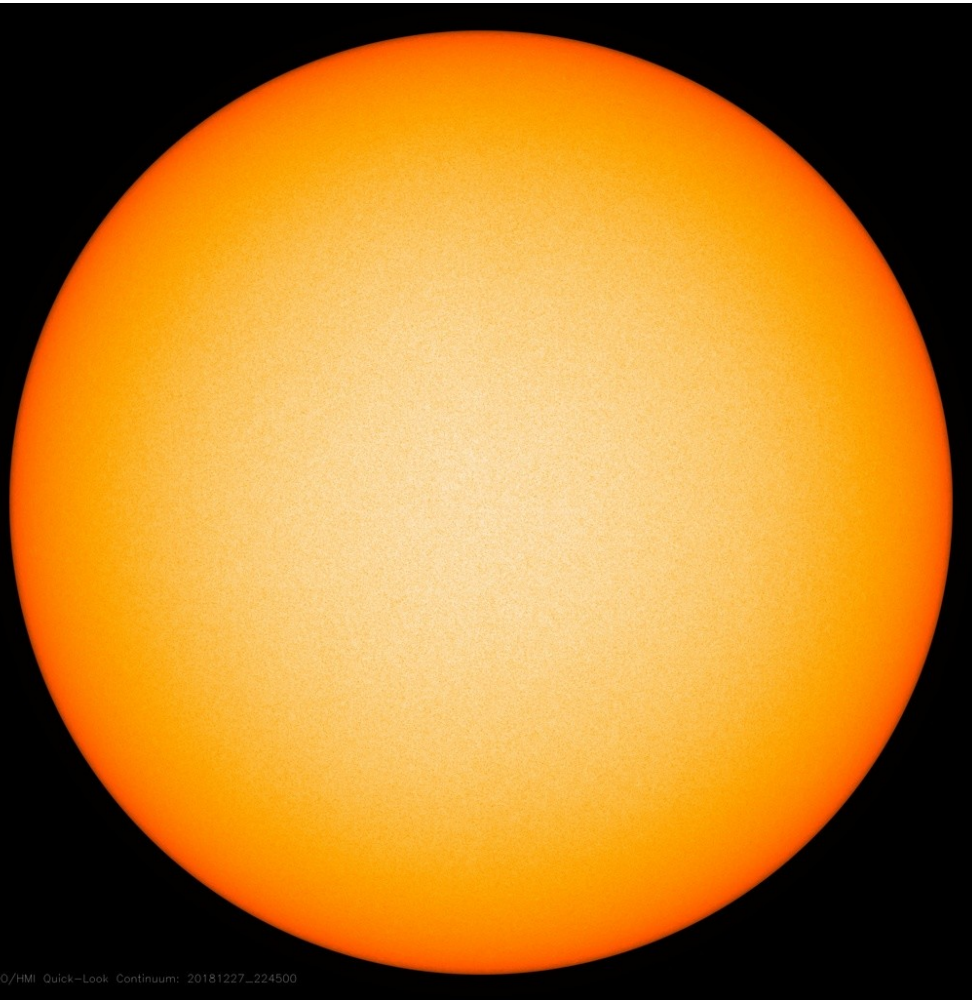


La figura muestra el conteo del número de manchas solares desde enero del 2000.

Entre más manchas solares presente el Sol, es mayor la posibilidad de que ocurra una tormenta solar.

Estamos acercándonos al mínimo de manchas solares del ciclo 24.

<http://www.swpc.noaa.gov/products/solar-cycle-progression>

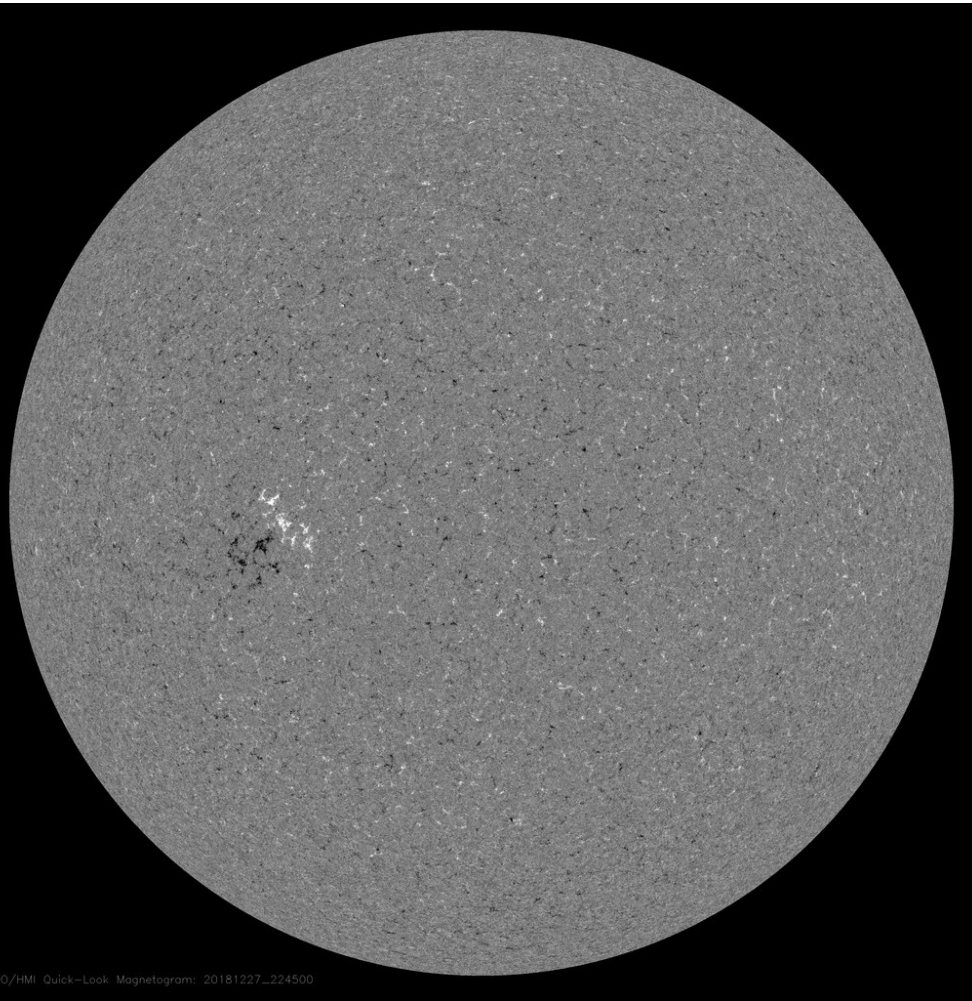


La fotosfera es la zona “superficial” del Sol, donde aparecen las manchas solares. Regiones oscuras formadas por material más frío que sus alrededores y que contienen intensos campos magnéticos. Las manchas solares están relacionadas con la actividad solar.

Imagen de la fotosfera solar para el 27 de diciembre.

No se observan regiones activas.

<http://sdo.gsfc.nasa.gov/>



Un magnetograma solar permite identificar las regiones de intensos campos magnéticos solares. En general, estos campos magnéticos están asociados a manchas solares.

Las regiones de color blanco (negro) son zonas por donde salen (entran) líneas de campo magnético, correspondientes a polaridad positiva (negativa).

El Sol al 27 de diciembre:

El magnetograma muestra nula actividad magnética proveniente de regiones activas.

<http://sdo.gsfc.nasa.gov/>

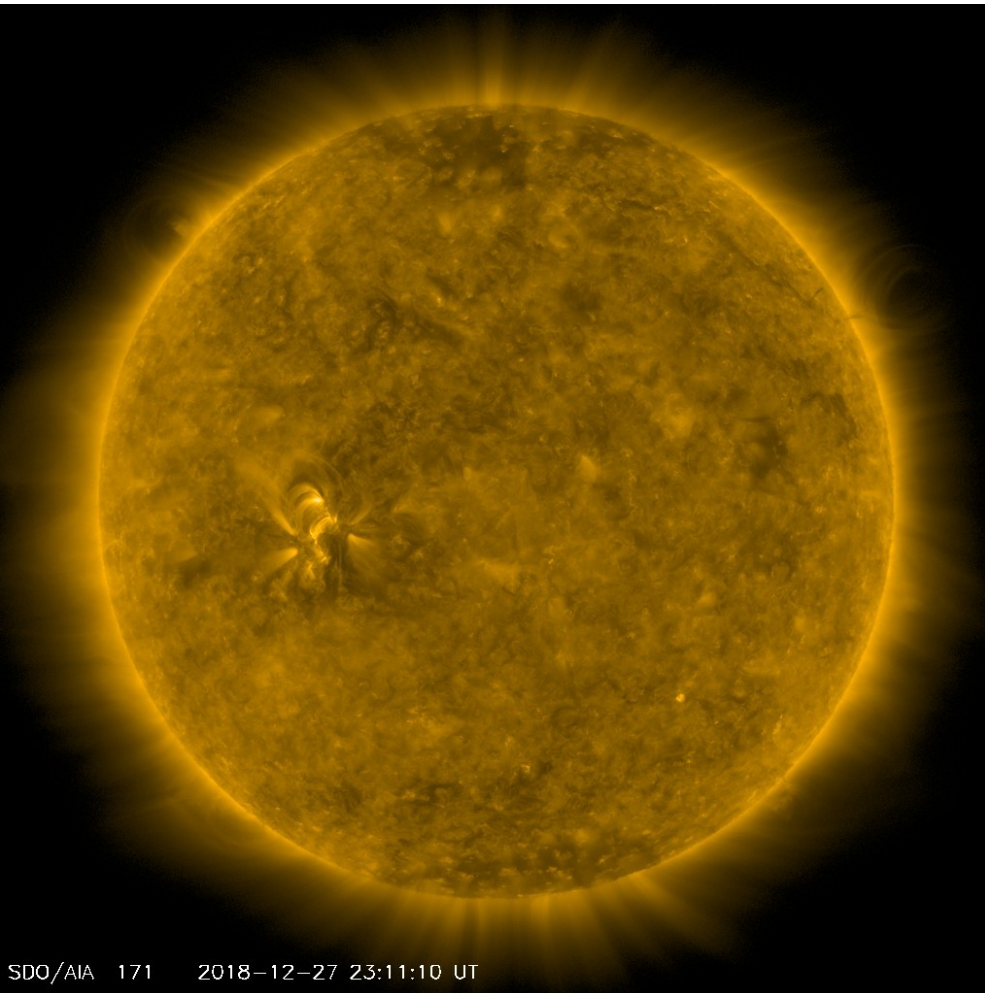
# Atmósfera solar y regiones activas

El Sol en rayos X suaves (171 Å). La emisión de Fe IX y X revela la estructura magnética en la región de la atmósfera solar llamada corona solar que se encuentra a 630,000 K.

Las regiones activas (zonas claras) son los lugares donde se presentan los fenómenos de actividad solar más importantes. Las regiones activas están regularmente asociadas a las manchas solares.

El Sol al 27 de diciembre:

No se observan regiones activas significantes en el disco solar.



SDO/AIA 171 2018-12-27 23:11:10 UT

<http://sdo.gsfc.nasa.gov/>

# Actividad solar: Fulguraciones solares

Flujo de rayos X solares detectado por los satélites GOES.

Los datos mostrados por el satélite GOES presentaron fulguraciones nivel A durante la semana.

Las consecuencias para nuestro planeta han sido poco significativas.

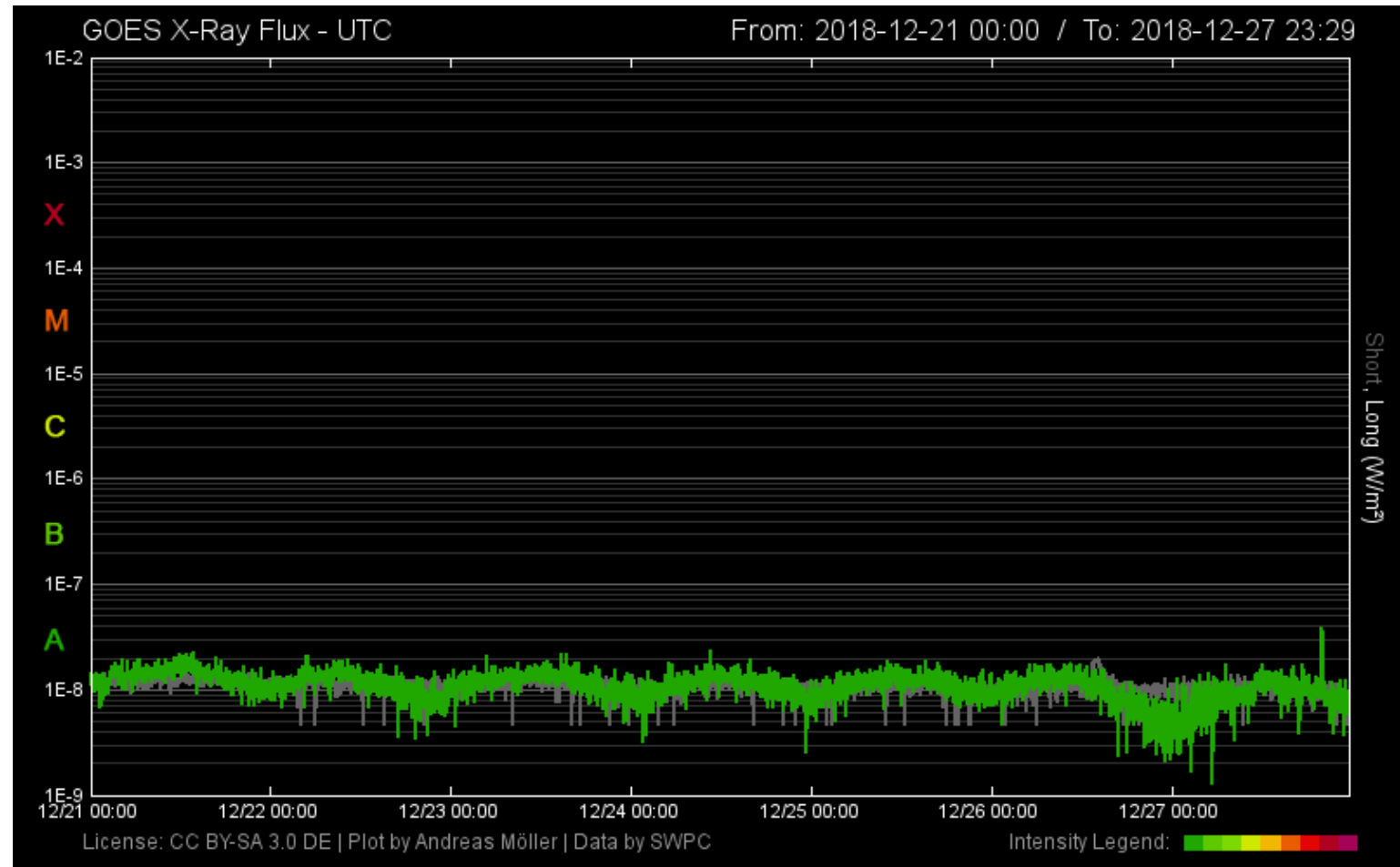


Imagen: <http://services.swpc.noaa.gov/images/goes-xray-flux.gif>  
<http://www.polarlicht-vorhersage.de/goes/>



# Medio interplanetario: El viento solar cercano a la Tierra

Condiciones del viento solar cercanas al ambiente terrestre registradas por el satélite artificial ACE.

De arriba a abajo: campo magnético, dirección del campo magnético, densidad de protones, velocidad del viento solar y temperatura de protones.

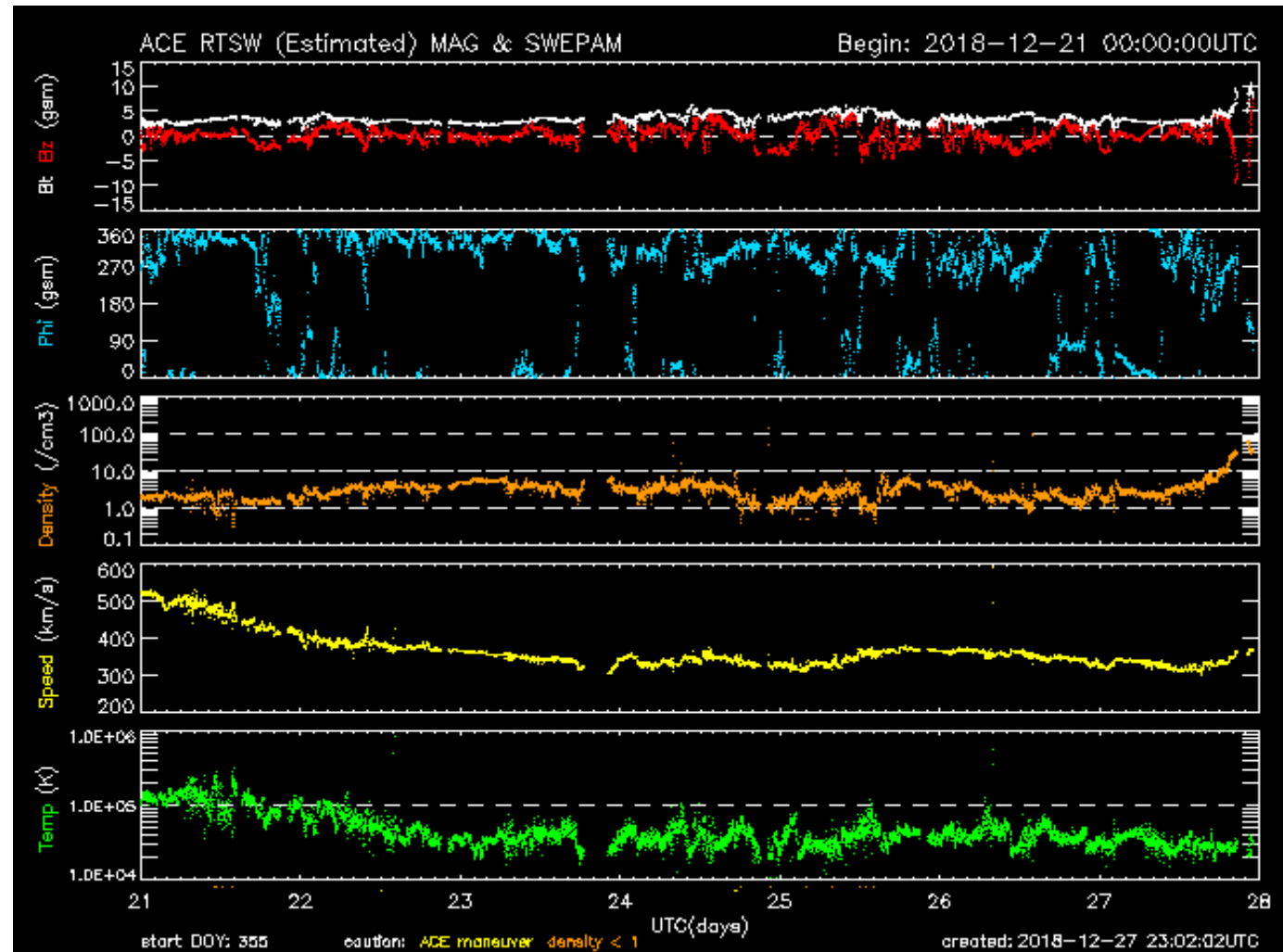


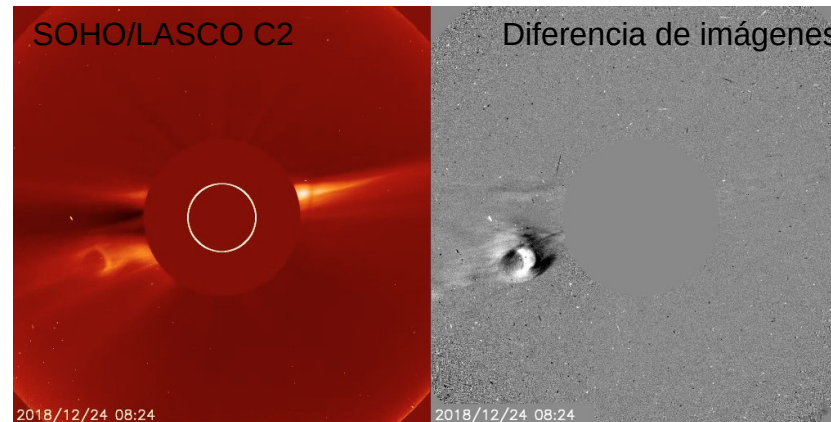
Imagen: <http://www.swpc.noaa.gov/products/ace-real-time-solar-wind>

# Eyecciones de Masa Coronal (EMCs): **LANC** *observación de coronógrafos*

Servicio Clima Espacial

>> Diciembre 24, 6:48 h

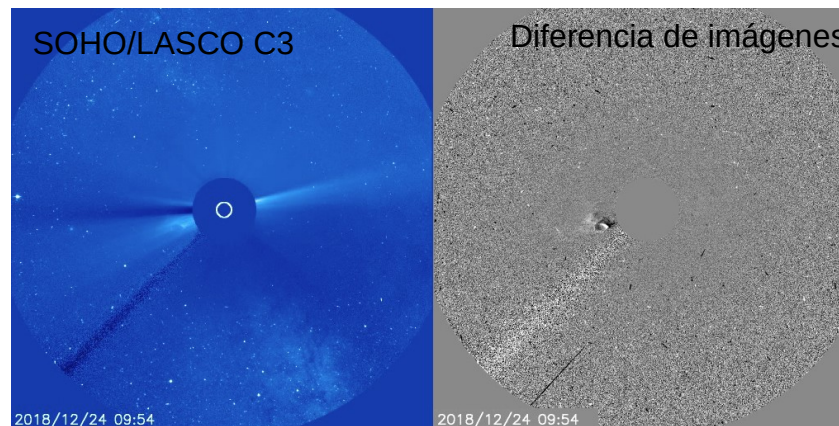
- EMC tipo “flux-rope” observada por SOHO/LASCO C1 y C2.
- La eyección de material se observa cerca del ecuador y sobre el limbo este solar.



## Relevancia

\*Eventos eruptivos solares de gran escala que eyectan plasma y campo magnético hacia el medio interplanetario (IP).

\*Las EMCs están relacionadas con las tormentas geomagnéticas de mayor intensidad y son capaces de impulsar ondas de choque y acelerar partículas en el medio IP.



Velocidad máxima	462 km/s
Posición angular	99°
Ancho angular	28°

Crédito imágenes y valores estimados:

SOHO, the Solar & Heliospheric Observatory CACTus CME catalog. SIDC at the Royal Observatory of Belgium.

# Medio interplanetario: El viento solar cercano a la Tierra

## Modelo numérico WSA-ENLIL.

El modelo pronostica un ambiente solar terrestre dominado por corrientes de viento solar promedio con velocidades de 350 a 450 km/s. La densidad del plasma se mantendrá sin cambios significativos. No pronostica la llegada de alguna EMC para los próximos días.

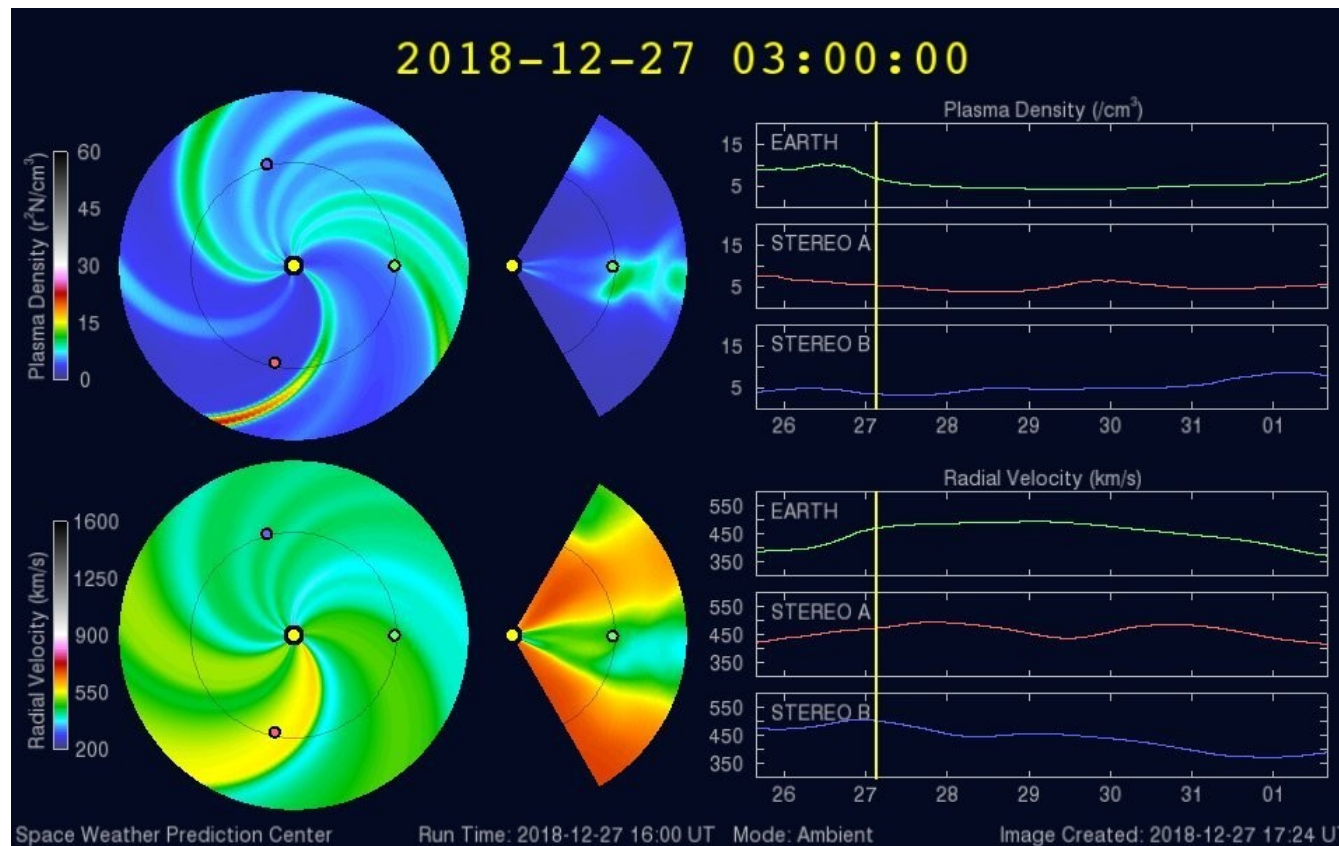
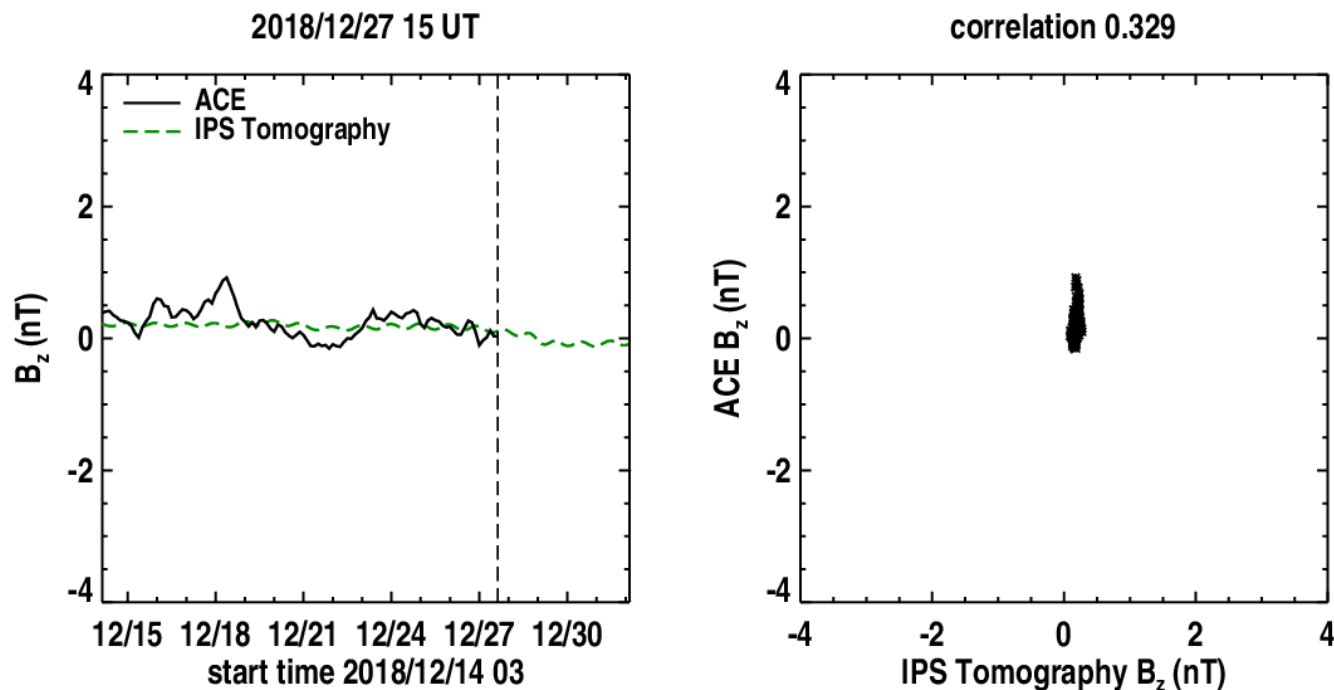


Imagen: <http://www.swpc.noaa.gov/products/wsa-enlil-solar-wind-prediction>

# Medio interplanetario: El viento solar cercano a la Tierra

Pronóstico de la componente  $B_z$  del viento solar cercano a la Tierra usando la tomografía con datos IPS.



**(Izquierda)** Se pronostica una componente  $B_z$  que tiende a cero. **(Derecha)** La comparación con las observaciones del Advanced Composition Explorer (ACE) indican una correlación de 0.329 en el último pronóstico.

Imagen: [http://ips.ucsd.edu/high\\_resolution\\_predictions](http://ips.ucsd.edu/high_resolution_predictions)

# Medio interplanetario: Región de interacción de viento solar

Esta semana no se registró región de interacción de viento solar. Actualmente se encuentra en curso una región de compresión (área sombreada), cuyo origen es un hoyo coronal ecuatorial de polaridad positiva. Dicha región puede generar una tormenta geomagnética en los próximos días.

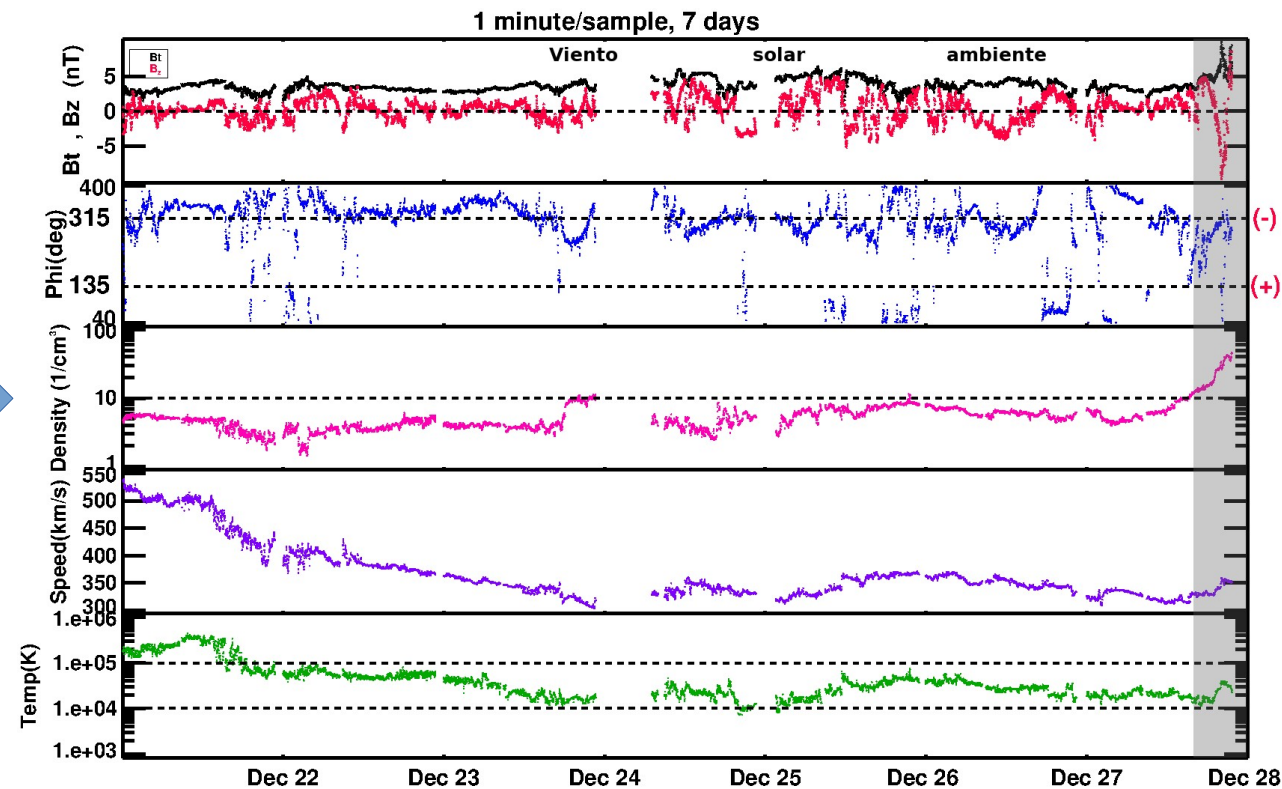
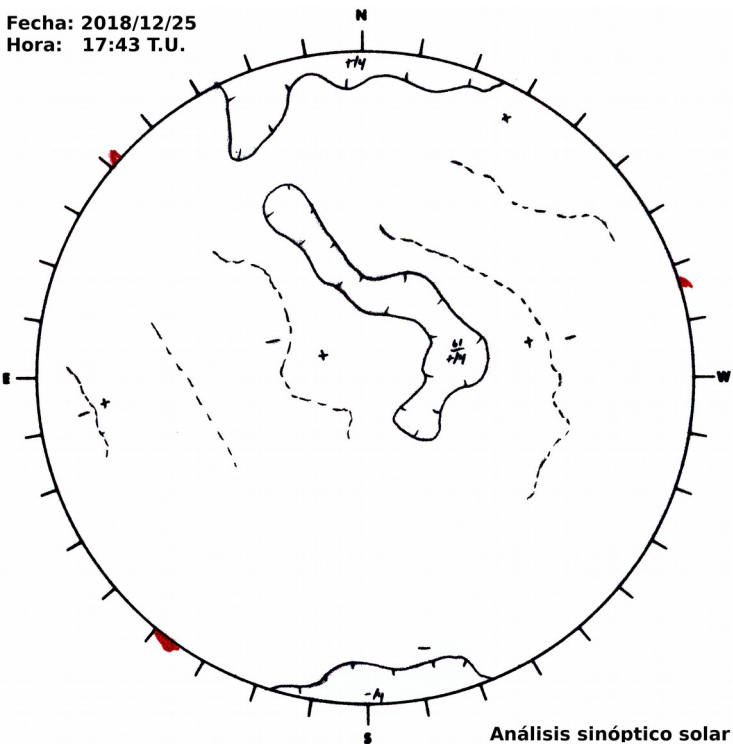


Imagen 1: [ftp://ftp.swpc.noaa.gov/pub/synoptic\\_maps/](ftp://ftp.swpc.noaa.gov/pub/synoptic_maps/)

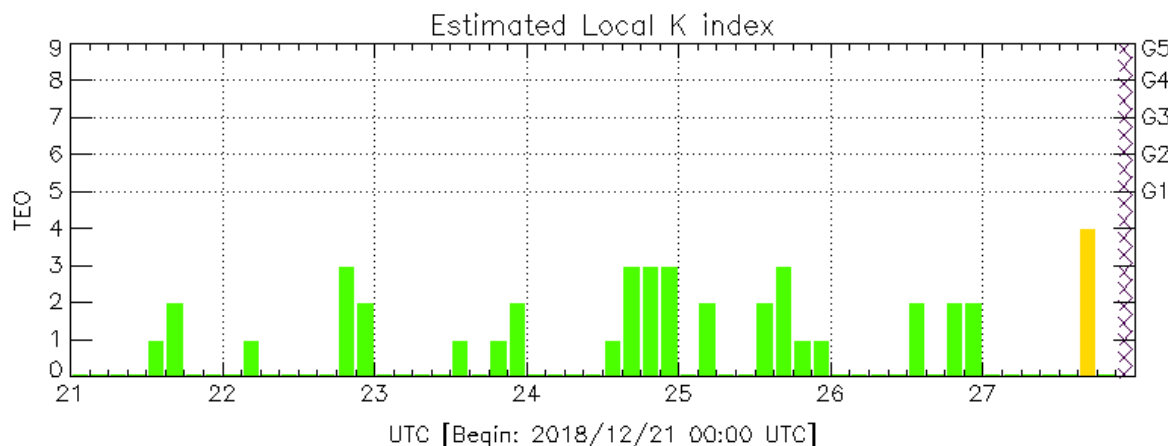
Imagen 2: <http://www.swpc.noaa.gov/products/real-time-solar-wind>

# Perturbaciones geomagnéticas: Índices geomagnéticos Kp y Kmex

Imagen: <http://services.swpc.noaa.gov/images/planetary-k-index.gif>

En términos generales, fue una semana quieta en términos de actividad geomagnética.

Se registró una perturbación el día 27 de diciembre debida a la llegada de una corriente de viento solar rápido.

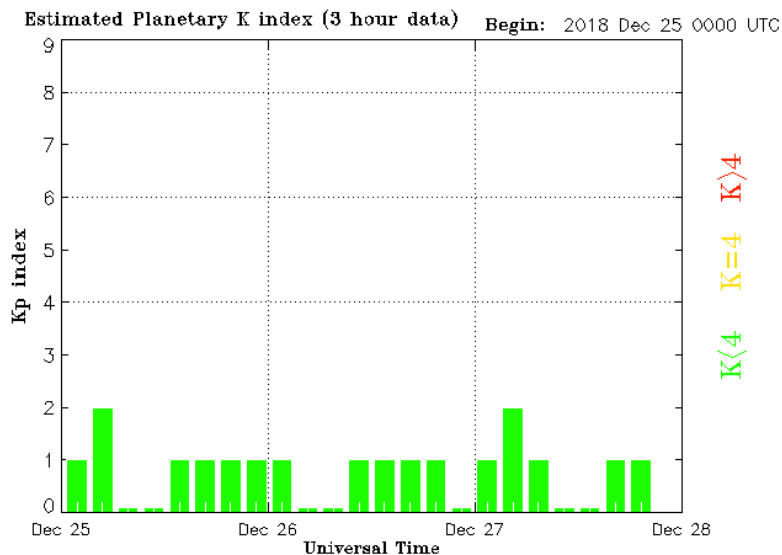


Color Code: ■ quiet, ■ disturbed, ■ storm, XXXX data not available.

TEO: Teoloyucan Geomagnetic Observatory (LAT 19.746, LON -99.193)

LANC/SCIESMEX - Morelia, Mich., MX

Updated: 2018/12/27-21:00 UTC



Updated 2018 Dec 27 21:30:02 UTC

NOAA/SWPC Boulder, CO USA

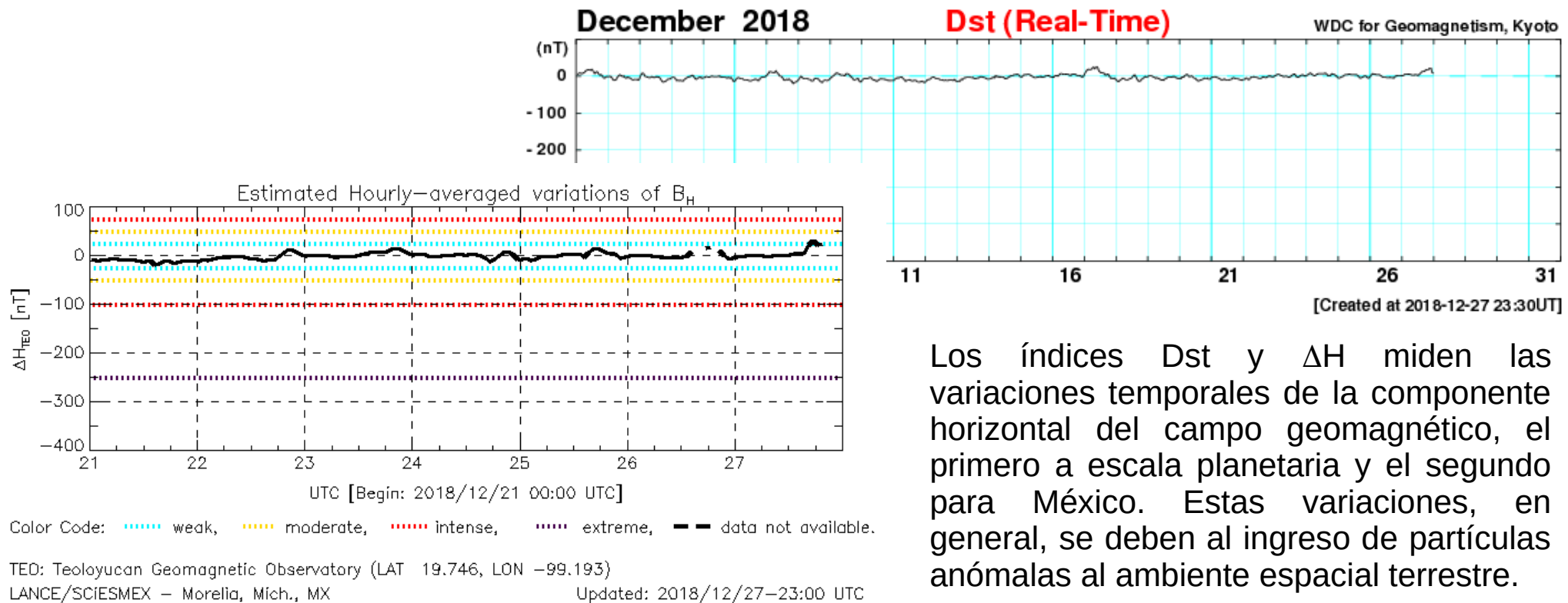
El índice K indica la intensidad de las variaciones del campo magnético terrestre en intervalos de 3 horas. El índice Kp lo expresa a escala planetaria, mientras que el Kmex lo hace para el territorio mexicano.

# Perturbaciones geomagnéticas: Índice Dst y $\Delta H$

En términos generales fue una semana quieta.

Se registró una alteración en los índices Dst y  $\Delta H$  el 27 de diciembre debido al impacto de una corriente rápida de viento solar. El evento está en curso en el momento de la elaboración de este reporte.

Imagen: [http://wdc.kugi.kyoto-u.ac.jp/dst\\_realtime/presentmonth/index.html](http://wdc.kugi.kyoto-u.ac.jp/dst_realtime/presentmonth/index.html)

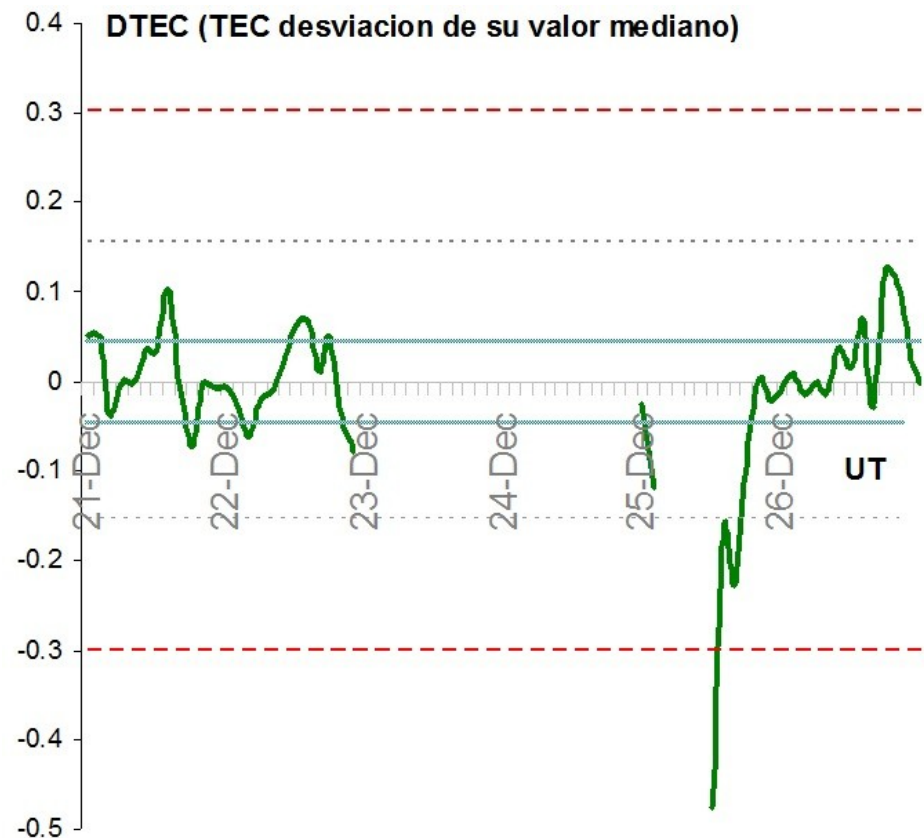


Los índices Dst y  $\Delta H$  miden las variaciones temporales de la componente horizontal del campo geomagnético, el primero a escala planetaria y el segundo para México. Estas variaciones, en general, se deben al ingreso de partículas anómalas al ambiente espacial terrestre.

# Ionósfera sobre México: TEC en el centro del país (datos

Desviación de TEC de su mediana de los 27 días anteriores al día de observación e Índice de clima ionosférico W durante 22-26.12.2018 con base en los datos de la estación local UCOE (TLALOCNet, UNAVCO) en las instalaciones del Mexart :

Según los datos locales, se observaron perturbaciones de TEC negativas el 25 de diciembre. El “gap” en los valores se debe a ausencia de los datos..



Referencia: Gulyaeva et al., GIM-TEC adaptive ionospheric weather assessment and forecast system. doi:10.1016/j.jastp.2013.06.011, 2013.



# Ionósfera sobre México: TEC en el centro del país (datos

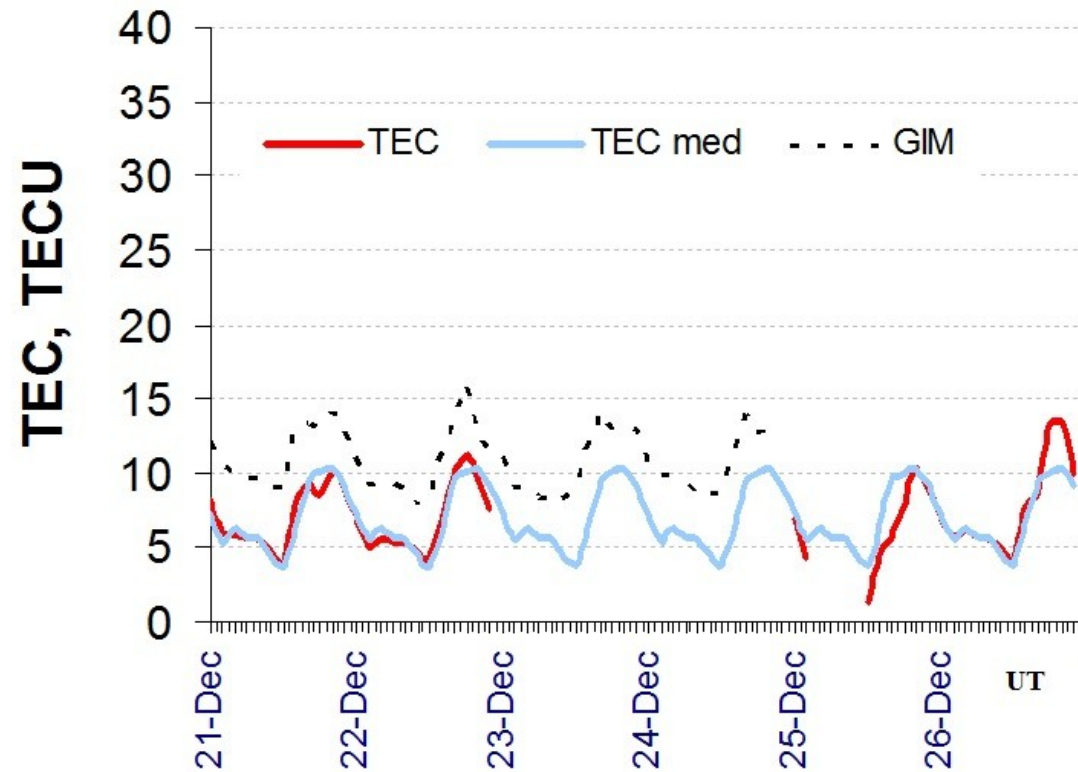
El contenido total de electrones (TEC) es un parámetro que sirve para caracterizar el estado de la ionosfera de la Tierra.

Serie temporal de los valores de TEC (rojo) con referencia a su valor mediano (azul claro) durante 22-26.12.2018 con base en los datos de la estación local UCOE (TLALOCNet, UNAVCO) en las instalaciones del Mexart:

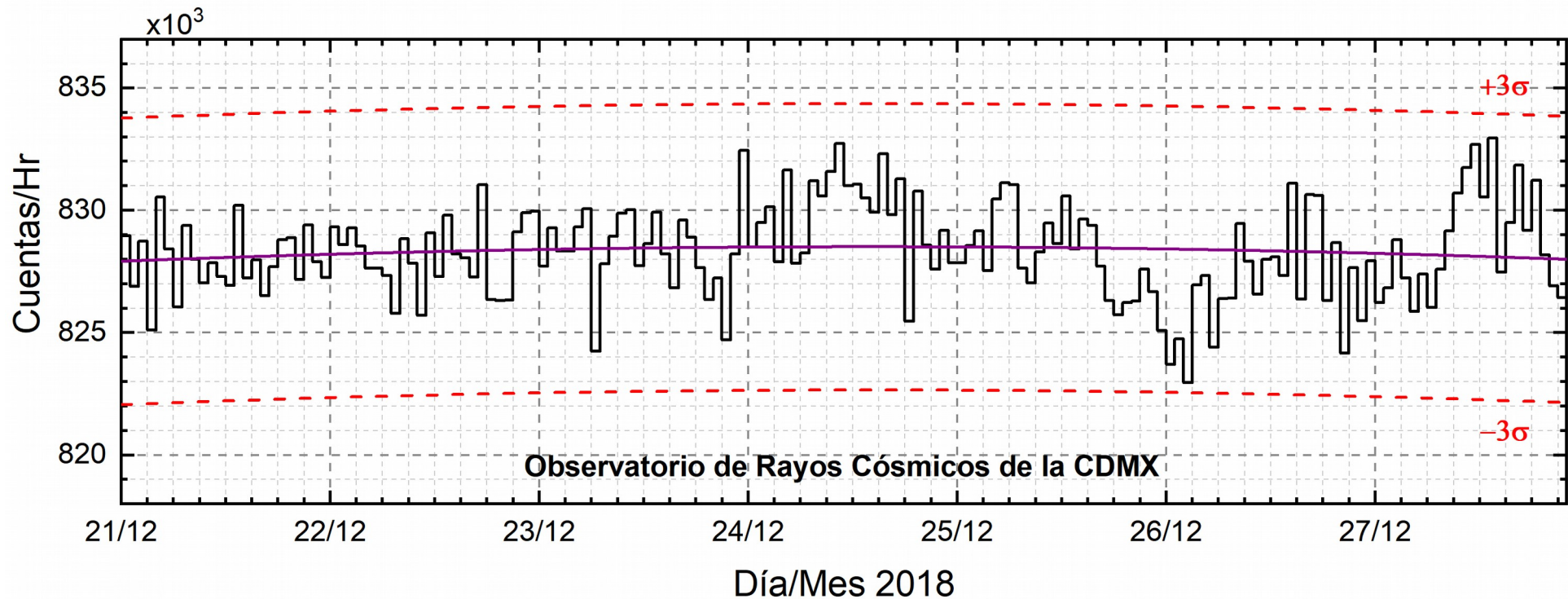
Según los datos locales, se observaron valores de TEC muy bajos el 25 de diciembre. El “gap” en los valores (curva roja) se debe a ausencia de los datos.

Datos locales están confirmados con datos globales de GIM (punteado).

El cálculo se realiza en base de TayAbsTEC software del Instituto de Física Solar-Terrestre, Sección Siberiana de la Academia de Ciencias de Rusia. Referencia: Yasyukevich et al., Influence of GPS/GLONASS Differential Code Biases on the Determination Accuracy of the Absolute Total Electron Content in the Ionosphere, Geomagn. and Aeron., ISSN 0016\_7932, 2015.



# Rayos Cósmicos:



<http://www.cosmicrays.unam.mx/>

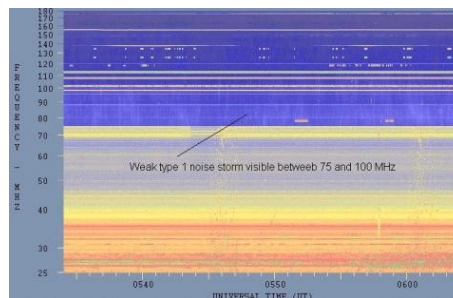
Datos del Observatorio de Rayos Cósmicos de la Ciudad de México. La curva púrpura representa el promedio de los datos registrados, las líneas discontinuas rojas representan la significación de los datos ( $3\sigma$ ). Cuando se registran variaciones mayores a  $3\sigma$ , es probable que éstas sean debidas a efectos de emisiones solares en el flujo de rayos cósmicos.

Del 21 al 27 de diciembre de 2018, no se detectaron incrementos significativos ( $>3\sigma$ ) en las cuentas de rayos cósmicos galácticos.

# Tipos de estallidos de radio solares

**Tipo I:** Estallidos cortos y banda de emisión estrecha. Ocurren en un gran número sobre un continuo de emisión. Duración de 1 s y en tormenta de horas a días.

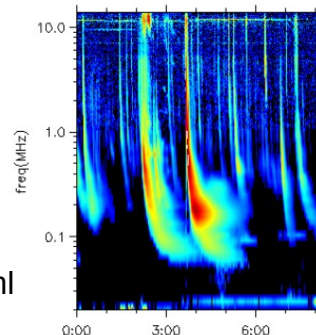
Se asocian con regiones activas, fulguraciones y protuberancias eruptivas



[spaceacademy.net.au/env/sol/solradp/solradp.htm](http://spaceacademy.net.au/env/sol/solradp/solradp.htm)

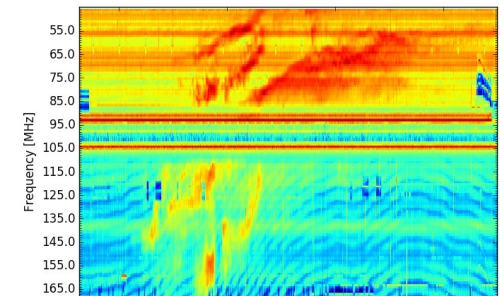
**Tipo III:** Estallidos de deriva rápida, con duración de pocos segundos en el rango métrico. Tienen anchos de emisión amplios. Son producidos en fulguraciones donde son expulsados a velocidades relativistas.

Se pueden presentar también como tormentas de estallidos.



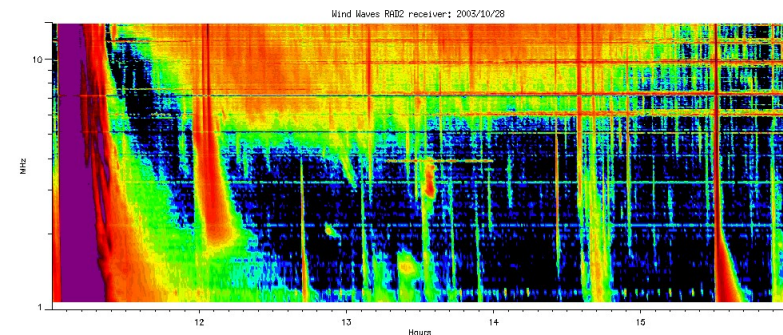
[ssed.gsfc.nasa.gov/waves/data\\_products.html](http://ssed.gsfc.nasa.gov/waves/data_products.html)

**Tipo II:** Estallidos de deriva lenta. Son la firma de ondas de choque, producidas por fulguraciones o EMCs, que se propagan cerca del Sol y medio interplanetario. Presentan anchos de de emisión estrechos que derivan a frecuencias menores.



[www.rice.unam.mx/callisto](http://www.rice.unam.mx/callisto)

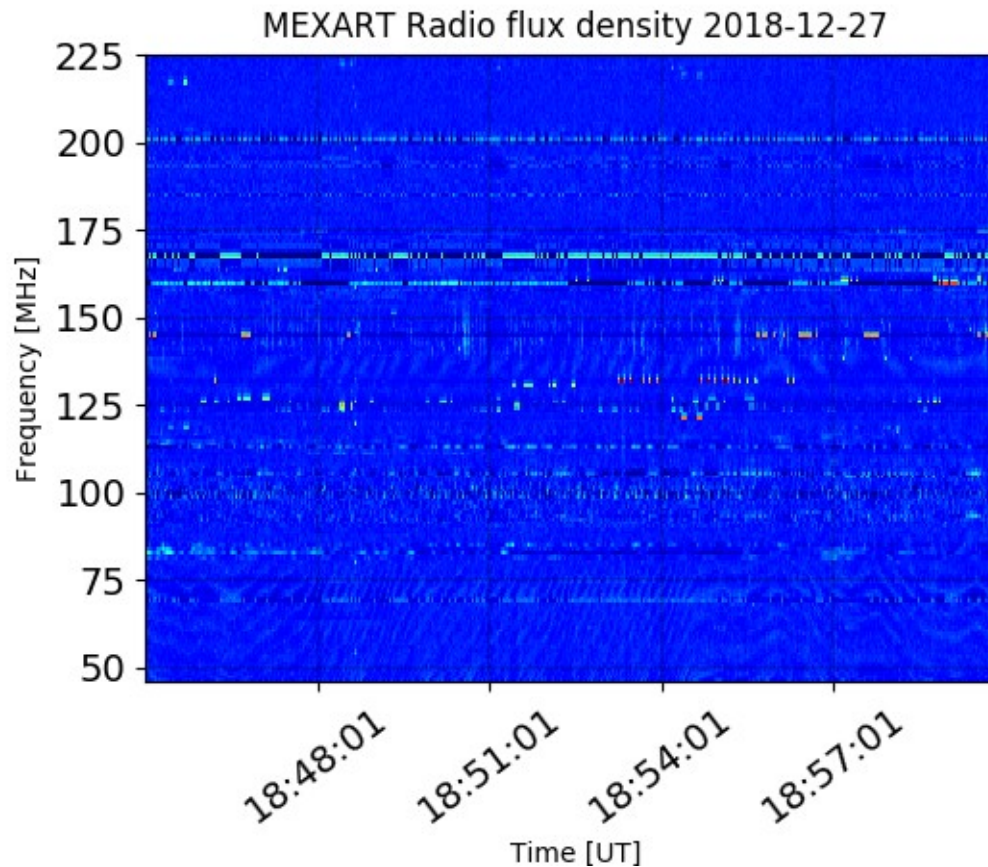
**Tipo IV:** Se relacionan con fulguraciones, tienen anchos de banda amplios y pueden durar horas.



[https://ssed.gsfc.nasa.gov/waves/data\\_products.html](https://ssed.gsfc.nasa.gov/waves/data_products.html)

# Estallidos de radio solares: Observaciones de Callisto-MEXART

Callisto-MEXART no detectó estallidos de radio solares esta semana.



- <http://www.rice.unam.mx/callisto/lightcurve/2018/12>

## **UNAM/LANCE/SCiESMEX**

Dr. J. Américo González Esparza

Dr. Víctor De la Luz Rodríguez

Dra. Maria Sergeeva

Dr. Pedro Corona Romero

Dr. Julio C. Mejía Ambriz

Dr. Luis Xavier González Méndez

Dr. Ernesto Aguilar-Rodríguez

Dr. José Juan González-Aviles

Dra. Tania Oyuki Chang Martínez

M.C. Elsa Sánchez García

## **UANL/LANCE**

Dr. Eduardo Pérez Tijerina

Dr. Enrique Pérez

Dr. Carlos de Meneses Junior

Dra. Esmeralda Romero Hernández

## **LANCE/MEXART**

Ing. Ernesto Andrade Mascote

M.C. Pablo Villanueva Hernández

## **UNAM ENES-Morelia**

Dr. Mario Rodríguez Martínez

Lic. Víctor Hugo Méndez Bedolla

Aranza Fernández Alvarez del Castillo

## **Callisto/MEXART**

Dr. Victor De la Luz

Lic. Elizandro Huipe

Lic. Francisco Tapia

## **RICE**

Dr. Víctor De la Luz

M.C. Enrique Cruz Martínez

## **RAYOS CÓSMICOS**

Dr. José Francisco Valdés Galicia

Fis. Alejandro Hurtado Pizano

Ing. Octavio Musalem Clemente

## **SERVICIO MAGNÉTICO**

M.C. Esteban Hernández Quintero

M.C. Gerardo Cifuentes Nava

Dra. Ana Caccavari Garza

**Elaboración:** Equipo SCiESMEX

**Revisión:** Ernesto Aguilar Rodríguez

## Agradecimientos

El Laboratorio Nacional de Clima Espacial (LANCE) es parcialmente financiado por: el programa Cátedras CONACYT Proyecto 1045 y el Fondo Sectorial AEM-CONACYT proyecto 2014-01-247722. Agradecemos al proyecto Conacyt – Repositorio Institucional de Clima Espacial 268273. Agradecemos a todos los responsables y colaboradores de instrumentos del LANCE y a las redes de estaciones GPS del Servicio Sismológico Nacional y TalocNET por facilitar sus datos. Agradecemos a Gerardo Cifuentes, Esteban Hernández y Ana Caccavari por los datos del Observatorio magnético de Teoloyucan. De igual forma, agradecemos los servicios de IGS (International GNSS Service) por permitirnos usar los datos IONEX disponibles en: <ftp://cddis.gsfc.nasa.gov/pub/gps/products/ionex>. Los valores de TEC fueron obtenidos a partir de observaciones de las redes GPS del Servicio Sismológico Nacional (SSN), SSN-TLALOCNet y TLALOCNet del Servicio de Geodesia Satelital (SGS). Agradecemos al personal del SSN y del SGS por el mantenimiento de estaciones, la adquisición de datos y el soporte de IT de estas redes. Las operaciones de la red TLALOCNet y SSN-TLALOCNet GPS han sido apoyadas por The National Science Foundation bajo el proyecto EAR-1338091 a UNAVCO Inc., los proyectos CONACyT 253760 y 256012 y los proyectos UNAM-PAPIIT IN109315-3 y IN104818-3 de E. Cabral-Cano y el proyecto UNAM-PAPIIT IN111509 de R. Pérez. De igual forma agradecemos a los proyectos de infraestructura del CONACyT: 253691 y del PAPIIT-DGAPA: IA107116 para el fortalecimiento de equipos como la estación fija de GPS, que forman parte del LACIGE-UNAM, de la ENES unidad Morelia a cargo de M. Rodríguez-Martínez. El cálculo de TEC se realiza: 1) utilizando el software US-TEC que es un producto de operación del Space Weather Prediction Center (SWPC), desarrollado a través de una colaboración entre National Geodetic Survey, National Oceanic and Atmospheric Administration (NOAA) y el Cooperative Institute for Research in Environmental Sciences of the University of Boulder, Colorado, 2) con base en el software TayAbsTEC del Instituto de Física Solar-Terrestre, Sección Siberiana de la Academia de Ciencias Rusa. Parte del procesamiento de datos se lleva a cabo dentro del Centro de Supercómputo de Clima Espacial (CESCOM) del LANCE.

## Datos:

Imágenes de coronógrafo, flujo de rayos X y modelo WSA-ENLIL:

<http://www.swpc.noaa.gov/products>

<http://iswa.ccmc.gsfc.nasa.gov/IswaSystemWebApp/>

Imágenes de coronógrafo:

<http://sohowww.nascom.nasa.gov/data/>

Imágenes del disco solar y de la fulguración:

<http://www.solarmonitor.org/>

Detección y caracterización de EMCs:

<http://www.sidc.oma.be/cactus/out/latestCMEs.html>

<http://spaceweather.gmu.edu/seeds/>

ISES:

<http://www.spaceweather.org/>

International Network of Solar Radio Spectrometers (e-callisto):

<http://www.e-callisto.org/>

German Research Center For Geociencias Postdam:

<http://www.gfz-potsdam.de/en/sektion/erdmagnetfeld/daten-dienste/kp-index/>

Data Analysis Center for Geomagnetism and Space Magnetism, Kyoto University:

<http://wdc.kugi.kyoto-u.ac.jp/index.html>

UNAVCO:

<http://www.unavco.org>

SSN:

<http://www.sismologico.unam.mx/>

SOHO Spacecraft NASA:

<http://sohowww.nascom.nasa.gov/>

SDO Spacecraft NASA:

<http://sdo.gsfc.nasa.gov/>

Space Weather Prediction Center NOAA:

<http://www.swpc.noaa.gov>

GOES Spacecraft NOAA:

<http://www.ngdc.noaa.gov/stp/satellite/goes/index.html>

ACE Spacecraft NOAA

<http://www.srl.caltech.edu/ACE/ASC/index.html>